

Morphometric Analysis of Sakran River Basin Using GIS Technologies

Jinan Rahman Ibrahim Al-Jaff

Geography Department, Faculty of Arts, Soran University, Kurdistan Region, Iraq

jinan.ibrahim@soran.edu.iq

KEYWORDS: Hydromorphometric Analysis, Sakran River Basin, Surface Runoff, Groundwater Recharge.



<https://doi.org/10.51345/v34i4.852.g413>

ABSTRACT:

The main Sakaran River basin is located in the far north-east of Iraq, east of Erbil Governorate. Within the zone of “distorted” creeping and thrusting faults. Where structures rush over each other, overturning folds, and complex mountainous terrain. An analysis of some of the most important hydromorphometric characteristics of the main Sakran River basin and its subbasins was carried out using geographic information systems. And an evaluation of some topographic and morphometric features and the extent of their impact on water surface runoff rates and the speed of arrival of flood waves, and thus, soil erosion, in order to improve watershed management. The study revealed that the main Sakran River basin is going through a young stage in the development of the river geomorphological cycle, in which the forces of uplift and depression are balanced, and moderate amounts of sediment are produced, in an area characterized by rain and snowfall. Also, the river consists of a sixth-order stream, a fifth-order channel for its two secondary basins, Sikanian and Sakran 1, and a fourth-order channel for its secondary basin, Sakran 2. An anomaly of Rb was found for class 4 order, which indicates the length of their surface runoff, and thus the increased opportunities for underground recharge in them. As for the upper watercourses, they flow through steep and dissected mountainous terrain, which facilitates surface runoff and reduces groundwater recharge opportunities and, consequently, lower groundwater potential in areas of these orders. The morphological characteristics indicated that the structural factor, the extension of the folds, and the length of the water dividing lines influenced the definition of the basin in an oval shape, with medium flood peaks. As the values of Dd , Fs , DT , If , C and Lo increase, the opportunities for surface runoff increase and the opportunities for ground recharge decrease. The nature of the region was dominated by steep slope and complex mountain slopes, thus reducing groundwater potential.

REFERENCES:

- Altaf, F., Meraj, G., & Romshoo, S. (2013). Morphometric Analysis to Infer Hydrological Behaviour of Lidder Watershed, Western Himalaya, India. *Geography Journal*, Hindawi, p.1-14.
- Buday, T. and Tyracek, J. (1980). The Regional Geology of Iraq: Stratigraphy and Paleogeography, Vol. 1,. In: Kassab, I., M. and Jassim, A.Z., Eds., *Geology of Iraq*, Geologic Survey, Baghdad.
- Garzica, J. V. (2019). Evolution of the NW Zagros Fold-and-Thrust Belt in Kurdistan Region of Iraq from balanced and restored crustal-scale sections and forward modeling. *Journal of Structural Geology*, 124, p.51-69.
- Farhan, Y. A.-S. (2015). Quantitative Analysis of Geomorphometric Parameters of Wadi Kerak, Jordan, Using Remote Sensing and GIS. *Journal of Water Resource and Protection*, 7, p. 456-475.
- Horton, R. (1932). Drainage basin characteristic. *Transactions, American Geographical Union*,14, p.350–361.
- Horton, R. E. (1945). Erosional Development of Streams and Their Drainage Basin; Hydrophysical approach to Quantitative Morphology. *Bulletin of The Geological Society of America*, Vol. 56., p.275-370.
- Jassim, S., & Goff, J. (2006). *Geology of Iraq*, 1st ed. Brno, Czech.: Dolin, Prague and Moravian Museum
- Javed, A. K. (2009). Prioritization of Sub-watersheds based on Morphometric and Land Use Analysis using Remote Sensing and GIS Techniques. *J. Indian Soc. Remote Sens.* 37, p.261–274.
- Karim, K. H. (2007). Relationship Between Qulqula Conglomerate Formation and Red Bed Series, at Qulqula Area, NE-Iraq. -Iraqi Journal of Earth Sciences, Vol.7, No.1, p.1-12.

- Khadri, S., & Moharir, K. (2013). Detailed morphometric analysis of Man River Basin in Akola and Buldhana Districts of Maharashtra, India using Cartosat-1 (DEM) Data and GIS techniques. International Journal of Scientific & Engineering Research, Vol.4 (11), p.832-854.
- Langbein, W. B. (1947). Topographic Characteristics. Washington: U.S. Geological Survey, Water-Supply Paper, vol. 968-C.
- Magesh, N. S. (2010). Morphometric evaluation of Papanasam and Manimuthar watersheds, parts of Western Ghats, Tirunelveli district, Tamil Nadu, India: a GIS approach. Environ Earth Sci., p.1-10.
- Mathew, M. J. (2016). Geomorphology and Morphotectonic Analysis of north Borne. Geoscience Marines Ecole,Sciences de la Mer (EDSM), Un. de Bretagne- sud: PH.D Thèse.
- Melton, M. A. (1957). An Analysis of the relations among elements of Climate, Surface properties, and Geomorphology, Technical Report No. 11. Michigan : Edwards brothers, Inc.
- Morisawa, M. E. (1962). Quantitative Geomorphology of Some Watersheds in the Appalachian Plateau. Geological Society of America Bulletin, Vol. 73, p.1025-1046.
- Pallard, B. C. (2009). A look at the links between drainage density and flood statistics. Hydrol. Earth Syst. Sci., 13, p.1019–1029.
- Pophare, A., & Balpande, U. (2014). Morphometric analysis of Suketi river basin, Himachal Himalaya, India. Jou. Earth Syst. Sci. 123, No. 7, p.1501-1515.
- Rai, P. K. (2018). Hydrological inferences through morphometric analysis of lower Kosi river basin of India for water resource management based on remote sensing data. Applied Water Science, 8 (15), p.1-16.
- Schumm, S. (1956). Evolution of Drainage Systems and Slopes in Badlands at Perth Amboy, New jersey. Bulletin of the Geological Society of America, Vol. 67,p.697-646.
- Siddiqui, S. &. (2014). Appraisal of active tectonics using DEM-based hypsometric integral and trend surface analysis in Emilia-Romagna Apennines, northern Italy. Turkish Journal of Earth Sciences, 23, p.277-292.
- Singh, P. G. (2014). Hydrological inferences from watershed analysis for water resource management using remote sensing and GIS techniques. The Egyptian Journal of Remote Sensing and Space Sciences, Vol. 17 (2), p.111-121.
- Sissakian, V. (2013). Geomorphology and Morphology of the Great Zab River Basin, North of Iraq. Iraqi Bulletin of Geology and Mining, Vo. 9 :(3), p.21- 49.
- Smith, K. (1950). Standards for grading texture of erosional topography. American Journal of Science, Vol. 248, p.655-668.
- Strahler, A. (1957). Quantitative Analysis of Watershed Geomorphology. Transactions American Geophysical Union, Vo. 38 (6), p.913-920.
- Strahler, A. (1952). Hypsometric (area-altitude) analysis of erosional topography. Geol. Soc. America Bull., Vol. 63, p.1117-1142.
- Sujatha, E. S. (2015). Morphometric analysis of sub-watershed in parts of Western Ghats, South India using ASTER DEM. Geomatics, Natural Hazards and Risk, 6 (4), p.326-341.
- Thomas, J. J. (2010). Morphometric aspects of a small tropical mountain river system, the southern Western Ghats, India. International Journal of Digital Earth, 3 (2), p.135-156.
- Vivoni, E. B. (2008). Hypsometric control on surface and subsurface runoff. Water Resources Research, Vol. 44 , p.1-9.
- Wharton, G. (1994). Progress in the use of drainage network indices for rainfall-runoff. Prog. Phys. Geogr. 18, p.539-557.
- Zavoianu, I. (1985). Morphometry of Drainage Basins, Developments in Water Science, 20. in co-edition by Editura AcademieiI, Bucharest, and ELSEVIER Science Publishers, Amsterdam.

التحليل المورفومترى لخوض نهر سكران الرئيسي باستخدام تقنيات نظم المعلومات الجغرافية

أ.م. جنان رحمان ابراهيم الجاف

قسم الجغرافية، كلية الآداب، جامعة سوران، إقليم كردستان، العراق

jinan.ibrahim@soran.edu.iq

الكلمات المفتاحية | التحليل الميدروموريومترى، خوض نهر سكران، الجريان السطحي، التغذية الجوفية.



<https://doi.org/10.51345/v34i4.852.g413>

ملخص البحث:

يقع خوض نهر سكران الرئيسي في أقصى شمال شرق العراق، شرق محافظة أربيل. ضمن نطاق الفواليق الراحفة والمندفعة "المشوهة" جيولوجياً. حيث اندفع التراكيب فوق بعضها، انقلاب الطيات، والتضاريس الجبلية المعقدة. تم إجراء تحليل لبعض أهم الخصائص الميدروموريومترية لخوض نهر سكران الرئيسي وأحواضه الثانوية، باستخدام نظم المعلومات الجغرافية. وتقييم بعض المعلمات التضاريسية والمورفومترية ومدى تأثيرها على معدلات الجريان السطحي المائي وسرعة وصول الموجات الفيضانية، وبالتالي، جرف التربة، من أجل تحسين إدارة مستجمعات المياه. كشفت الدراسة عن أن خوض نهر سكران الرئيسي، يمر بمرحلة شباب من تطور الدورة الجيوموريولوجية النهرية، حيث توازن فيه قوى الرفع والانخفاض، وتتنجع كميات متعددة من الرواسب، في منطقة تميز بتساقط مطري وثلجي. وايضاً، يتكون النهر من مجاري بالمرتبة السادسة، والمرتبة الخامسة لخوضيه الثنائيين سيكانيان وسكران¹، والرابعة لخوضه سكران² الثانوي. وجدت حالة شنودة R_b ملاري الرابعة، مما يدل على طول جريانها السطحي، ومن ثم زيادة فرص التغذية الجوفية فيها. أما الجارى المائية العليا، فتتدفق عبر تضاريس جبلية شديدة الأخدار والتشريح، مما يسهل الجريان السطحي وتقليل فرص التغذية الجوفية، وبالتالي، انخفاض إمكانات المياه الجوفية في مناطق هذه الرتب. أشارت الخصائص الشكلية إلى، تحكم العامل البنبوى وأمتداد الطيات، وطول خطوط تقسيم المياه، التي أثرت في تحديد الحوض بالشكل البيضوى، ذي القمم الفيوضية المتوسطة. وفي ارتفاع قيم كل من C , D_d , F_s , D_T , I_f و L_o ، مما زداد فرص الجريان السطحي وتتحفظ فرص التغذية الجوفية. كما هيمنت الانحدارات الشديدة، الجبلية المتضرسة والمعقدة على طبيعة المنطقة وبالتالي، خفض إمكانات المياه الجوفية.

المقدمة:

الأحواض النهرية هي الوحدات الأساسية للمظاهر الأرضية المائية، فقد أكدت العديد من الدراسات على دراسة مكوناتها، ومظاهرها الهندسية والتفسير الكمي للمؤشرات الميدروموريولوجية، التي هي أدوات منهجية بالغة الأهمية لإدارة موارد المياه وتقييمها في خوض النهر، (Rai, 2018, p.1). ويتم إجراء تحليل شبكة الصرف ومؤشراتها السطحية، لفهم مكونات الحوض ومدى ترابطها، تطور وسلوك الحوض النهري وعمليتها المؤشرات الميدروموريولوجية المختلفة. كونها إحدى الأدوات العلمية الوااعدة لتقدير وإدارة الموارد المائية، ومؤشراً موثوقاً للقابلية النفاذية للصخور ونوعها، التراكيب الهيكيلية وحالتها الميدروموريولوجية، (Singh, 2014, p.112). ويساعد في التنبؤ بالسلوك التقريري لمستجمعات المياه خلال فترات هطول الأمطار الغزيرة، (Magesh, 2010, p.1). إن الخصائص

المورفومترية تتأثر وبصورة مباشرة بكل من البنية الجيولوجية، التضاريس، المناخ، استعمالات الارض والغطاء النباتي. وأي تغير في هذه العوامل يؤدي الى تغير واضح في الخصائص المورفومترية للشبكة المائية للخوض، (عواش، 2018، ص161). وهذا يجعلها متغيرة وغير ثابتة، كونها انعكاساً لتلك العوامل الغير ثابتة، (الحسيني، 2000، ص156). ويعتبر نظم المعلومات الجغرافية GIS مثالياً للتحليل المورفومترى لأحواض الصرف المائي، او لأي منطقة او اقليم، نظراً لقوته في توفير معلومات وتصور حول السمات الطبوغرافية ومعالجتها وقياسها، وايضاً، سهولة تحديد هذه الخصائص المورفومترية باستخدام DEM وبيانات SRTM، وايضاً، وفر طريقة دقيقة وسريعة وغير مكلفة لتحليل النظم الميدرولوجية. كما تعد تقنية الاستشعار عن بعد طريقة ملائمة للتحليل المورفومترى حيث توفر صور الأقمار الصناعية رؤية شاملة لمنطقة كبيرة ومفيدة للغاية في تحليل قياس شكل حوض الصرف، (Singh, 2014,p.112). يهدف هذا البحث تحديد وتحليل بعض أهم الخصائص الهيدرومورفومترية لخوض نهر سكران الرئيسي باستخدام نظم المعلومات الجغرافية وربطها بطبيعة المنطقة الطبيعية، كالوضع الجيولوجي، المناخ، الطبوغرافيا وغيرها. وتقسيم بعض المعالم التضاريسية والمورفومترية ومدى تأثيرها على معدلات الجريان السطحي المائي وسرعة وصول الموجات الفيضانية، وبالتالي، جرف التربة، من أجل تحسين إدارة مستجمعات المياه.

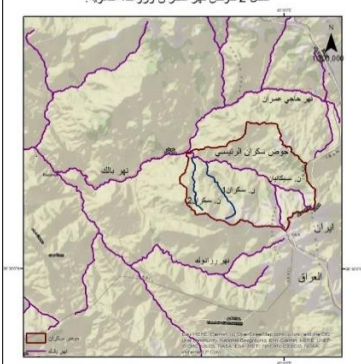
المواد والمنهجية Materials and methods

1- منطقة الدراسة

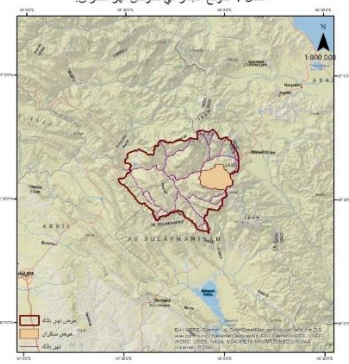
يقع حوض نهر سكران الرئيسي في أقصى شرق محافظة اربيل، شمال شرق العراق، ضمن كتلة جبلية عظيمة معقدة جداً، عند الحدود العراقية-الايرانية، وقム تتجاوز 2500 m ارتفاعاً، مغطاة بالثلوج لأغلب أشهر السنة. يشغل مساحة 120.7 Km^2 ، يمتد بين خطى طول $30^{\circ}44'2''$ و $30^{\circ}45'2''$ شرقاً، ودائرة عرض شمالاً $39^{\circ}36'00''$ و $36^{\circ}32'00''$ شمالاً، شكل 1. وهو أحد الاحواض الثانوية المهمة لنهر بالك، الذي مع نهر ميركة سوور يكونان حوض نهر رواندوز، أحد روافد نهر الزاب الكبير (رافد نهر دجلة) في العراق. يتكون النهر سكران من ثلاثة احواض رافدية. أكبرها حوض نهر سيكانيان، يشغل مساحة 84.96 Km^2 ، نابعاً من الجبال الحدودية كجبال هوبز 2282 m ، أقصى شرق الموضع عند الحدود العراقية-الايرانية، بردة ناز 2994 m ، كودو 2959 m ، كردة مند 2519 m ، وتشكل الجبال الثلاث الاخيرة خط تقسيم المياه بينه وبين حوض حاجي عمران (منابع نهر بالك الرئيسي). كما يشكل جبل منداو 3367 m الحدودي خط تقسيم المياه بينه وبين حوض نهر رزانوك (حوض ثانوي لنهر بالك) من جهة الشرق والجنوب الشرقي. وعند قرية شيخ ومان، يلتقي نهر سيكانيان برافده سكران¹، بعد قطع

مسافة 15.7 Km من منبعه. ينبع نهر سكران 1 من جبال سكران 3457 m، وسکاری سکران m 2437، الذي يمر عليه خط تقسيم المياه بين الراfeldin. يبلغ طول مجراه النهر من المنبع وحتى التقائه بنهر سيكانيان 9.38 Km، وبمساحة حوضية 22.46 Km². وبالتقاء هذين الراfeldin، يكمل النهر مسیره نحو الشمال الشرقي، وبعد قطع مسافة 1.9 Km، يلتقي النهر برافده الثالث، نهر سكران 2. ينبع هذا النهر من الجبال والتلال الفاصلة بينه وبين حوض سكران 1 وحوض رزانوك. يشغل مساحة 9.74 Km²، وطول مجراه من المنبع وحتى التقائه بنهر سكران الرئيسي 7.34 Km. ثم يكمل نهر سكران الرئيسي مسیره غرباً لمسافة 1.2 Km، ليلتقي بنهر بالك عند جانبه الأيسر، عند قرية ناويردان، جنوب غرب مدينة جومان، شكل 2 وجدول 1.

شكل 2 حوض نهر سكران ورؤوفته الثانوية



شكل 1 الموقع الجغرافي لحوض نهر سكران.



جدول 1. بعض خصائص حوض نهر سكران الرئيسي واحواضه الثانوية.

الحوض	سيكانيان	سكران 2	سكران 3	مساحة
	120.7	9.74	22.46	84.96
المحيط	52.0	18.04	21.39	45.52
طول الحوض	15.8	6.63	7.65	13.6
عرض الحوض	6.40	1.33	2.39	5.40
طول المجرى الرئيسي	18.87	7.34	9.38	15.7
طول الخط الموازي للمجرى الرئيسي	16.2	6.84	8.21	13.12
أقصى ارتفاع	3594	3191	3459	3594
أدنى ارتفاع	1071	1116	1170	1171

جيولوجيا، تقع منطقة الحوض المدروس، في نطاق الصدوع الزاحفة، أقصى شمال شرق العراق، على طول الحدود العراقية- الإيرانية، (Garzica, 2019, p.60). وهو نتاج التطور الجيوديناميكي المعقد على طول الصفيحة

العربية، (85 & 276)، Goff & Jassim, 2006, p.p. (تركيبة-تعروية)،
منها السلسل الجبلية العالية التي تخللها الوديان العميق، الصدوع والفووالق والحاوجز التركيبية المتعددة (ظهور
الخنازير)، مما اعطت صورة معبرة أكثر عن مدى التشووه والتعقيد الطوبوغرافي للمنطقة، (الكرياعي، 2013،
ص 45). وبالتالي، تراكم واندفاع الصفائح وانقلابها على بعضها، نتج عنها انكسارات كبيرة وفووالق عميقه،
تحولت الى فووالق مندفعة مقلوبة، كاندفاع صخور والاش البركانية (الباليوسين) فوق الطبقات عمرها الملايوسين،
(العمري وصادق، 1977، ص35)، ومن ملاحظة الشكل 3، نجد ان هذه الفووالق تحيط التكوينات
الجيولوجية في المنطقة وبطول **Km 64.6**، مما ساهمت بشكل رئيسي في توليد العيون والينابيع الكارستية
في الطبقات والخزانات الكارستية المتشققة فيها، على طول خطوط الانكسار والتتصدع على أجنحة الطيات
وحيث تداخل الطبقات مع بعضها. وهي مياه عذبة جيدة جداً، منخفضة الملوحة، وعادة ما تكون ملوحة
أقل من 0.5 غم/لتر. والنوع السائد للمياه الكارستية هو $\text{HCO}_3 - \text{Ca} - \text{Mg}$ ، مع زيادة المغنيسيوم في
رواسبها الدولوميتية، ومتعادل بدرجة حموضة 8.0-6.5 (Jassim & Goff, 2006, p. 407). وعليه، تتتنوع
التكوينات والصخور في الحوض بين أعمار تتراوح من أسفل الكريتاسي (الزمن الثاني) المتمثلة بتكونيات
قدليل وشليل، إلى العصر الرابع. شكلت صخور قدليل النسبة الاعلى في الحوض 49.6%， صخور والاش
.35.3%， صخور ناويردان 6.4%， صخور شليل 4.7%， وكولوش 3.9%.

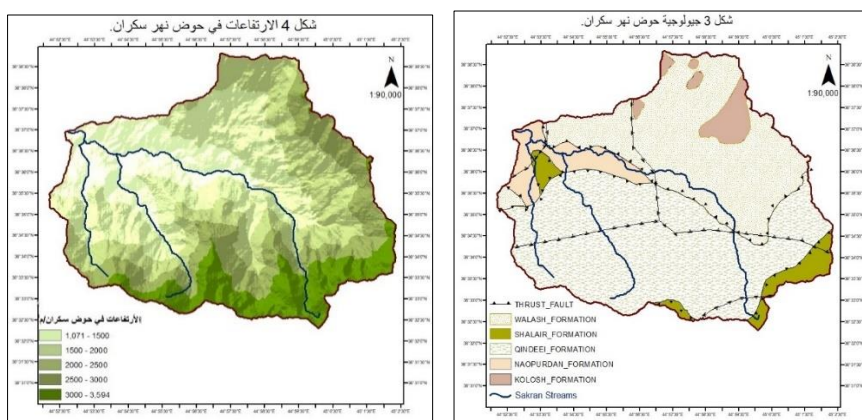
أيضاً، تنتشر في المنطقة انظمة الكسور والفوائل التي تشكل خطوطاً مختلفة الاتجاه تتقاطع مع أسطح التطبق.
ما يعرض جزء كبير من الجريان المائي السطحي الى النفوذ والترشيح. إضافة الى دور عوامل التجوية والتعريبة
في توسيعها للشقوق والكسور بعمليات التجوية الكيميائية، وبالتالي تسريع وتنشيط المسامية والنفاذية والتناقلية
للسخور، وان كانت من التكاوين الصماء القليلة النفاذية. أما التكونيات الباليوسينية (الزمن الثالث)، فمتلك
أعلى معامل النفاذية والناقلية، (السياب وزملائه، 1983، ص 236). فيما تشكل تربات العصر الرباعي
بما تتميز به من التنوع الرسوبي في المواد والحجم، من التكونيات العالية النفاذية، وهذا يؤثر سلباً على كميات
الجريان السطحي، ومن جهة أخرى، هي من التكونيات الخازنة، التي تساعد في مشاريع حصاد المياه الجوفية
للم منطقة. ذكر Goff وزميله (2006, p. 405)، إن الطبقات الجوفية الرباعية قريبة من السطح، ضحلة، تصل
أعمقها إلى عدة عشرات من الأمتار. تتكون من طبقة علوية متوجبة ورواسب رباعية ونطاق سفلي متتصدع،
عادة ما تكون نفاذية الخزان الجوفي القريب من السطح من $m^2/10-1$. يغلب على المنطقة الطابع الجبلي،
بتضاريسه الشديدة الوعرة، والمنحدرات شديدة التعقيد، لذلك تتراوح الارتفاعات في الحوض بين 1071م
و3594م، الشكل 4. مما فرض الطابع السياحي على المنطقة، وأصبحت أحد الأقطاب السياحية للإقليم
والعراق على حد سواء. وما ساعد على نشاط القطاع السياحي في المنطقة، ما تميزتها المناخية، التي تتصف

بالاعتدال في درجات الحرارة ، إذ تبلغ $13.7^{\circ}C$ ، كمعدل سنوي، $26.7^{\circ}C$ لفصل الصيف، و $1.1^{\circ}C$ لفصل الشتاء، الذي يتميز بتساقط ثلجي غير(لاتتوفر بيانات رسمية لتسجيل كميات التساقط الثلجي للمنطقة، يذكر سكان المنطقة، ان التساقط الثلجي يصل في بعض السنوات الى سمك 75 cm)، ومطري، يبلغ 495.5 mm سنويا، منها 184.4 mm شتاء، 188.4 mm ربيع، يليها 103.3 mm و 19.2 mm لفصل الخريف والصيف على التوالي، جدول 2.

2- مصادر البيانات ومعاجلتها

في هذه الدراسة ومساعدة بيانات نموذج الارتفاع الرقمي SRTM DEM، بدقة 30م، المستحصلة من موقع United State Geological Survey (USGS) (<https://earthexplorer.usgs.gov>)، تم اتباع منهجي التحليلي والكمي، لتحديد المعلمات المورفومترية اعتمادا على برنامج ArcGIS 10.4.1، وتحديد حوض الصرف المائي واستخراج شبكة مجاريه، باستخراج طبقتين أساسيتين، طبقة حوض التصريف وطبقة المجاري المائية. من خلال تطبيق معاجلة وتصحيح لبيانات DEM المفقودة مسبقا، بمساعدة أدوات الهيدرولوجيا في ArcGIS 10.4.1 عن طريق ملء الفراغات، لتقليل الأخطاء. وتحديد اتجاه تدفق المجاري وتقدير تراكم التدفق ومن ثم، استخراج حوض التصريف وشبكة المجاري. تم استخدام الطبقات المستخرجة لحساب المعلمات الشكلية، المساحية والتضاريسية، تقييم معدل تآكل المستجمع المائي، المراحل الجيومورفولوجية لتطور الأشكال الأرضية، وعلاقتها بخصائص الحوض الطبيعية، المورفومترية، الطبوغرافية والهيدرولوجية. الجداول 3، 4 و5، يلخص الطريقة المستخدمة لقياس كل معلمة من المعلمات المورفومترية المستخدمة في الدراسة مع مرجعها.

كما تم اعتماد البيانات المناخية الغير منشورة الصادرة عن حكومة اقليم كوردستان العراق، وزارة النقل والاتصالات، المديرية العامة للانواع الجوية والرصد الزلزالي، محطات سوران، جومان، كوبية للسنوات 1997-2021. بالإضافة إلى ذلك، تم اعتماد الخريطة الجيولوجية لمنطقة أربيل-مهاباد، مقاييس 1:250000، والمرقمة 14-38 NJ و 15-38 NJ، الصادرة عن الشركة العامة للمسح الجيولوجي والتعدين، وزارة الصناعة والمعادن، بغداد-العراق، لسنة 1997، لمعرفة التكوينات الجيولوجية والهيدرولوجية للمنطقة.



جدول 2. المعدل الحراري الشهري والمتوسط المطري الشهري والفصلي لمحطة جومنان المناخية للسنوات 1997-2021.

الستوى	الخريف			الصيف			الربيع			الشتاء			الفصول
	2 ت	1 ت	ايلول	آب	حزيران	تموز	مايس	آذار	نيسان	شباط	2 لد	1 ك	الأشهر
13.7	7.7	15.5	21.7	27.5	27.9	24.6	18.3	11.9	5.2	0.7	-0.3	3.0	معدل شهري
				15.0		26.7			11.8			1.1	معدل فصلي
495.5	56.7	39.5	7.1	4.4	5.7	9.2	44.8	72.5	67.1	59.8	70.4	58.3	متوسط شهري
				103.3		19.2			184.4			188.4	متوسط فصلي

جدول 3. المنهجية او الطرق القياسية للمعلمات المورفومترية الخطيئة المستخدمة في الدراسة.

Reference	Formula	Symbol	Parameter
Strahler (1952)	<i>GIS Analysis</i>	<i>U</i>	المراتب الهرية
Horton (1945)	<i>GIS Analysis</i>	<i>Nu</i>	عدد المجرى
Horton (1945)	<i>GIS Analysis</i>	<i>Lu</i>	طول المجرى
Strahler (1957)	<i>Lum = Lu / Nu</i>	<i>Lsm</i>	متوسط طول المجرى
Horton (1932; 1945)	<i>Rb = Nu/Nu+1</i>	<i>Rb</i>	نسبة التشعب
Horton (1945)	<i>Lur = Lu / Lu-1</i>	<i>R_L</i>	نسبة طول المجرى

جدول 4. المنهجية او الطرق القياسية للمعلمات المورفومترية الشكلية المستخدمة في الدراسة.

Reference	Formula	Symbol	Parameter
-	<i>GIS Analysis</i>	<i>A</i>	المساحة
-	<i>GIS Analysis</i>	<i>P</i>	المحيط
Schumm (1956)	<i>GIS Analysis</i>	<i>Lb</i>	طول الخوض
Thomas and Benson (1972)	<i>W = A/MS_L</i>	<i>W</i>	عرض الخوض
-	<i>GIS Analysis</i>	<i>MS_L</i>	طول المجرى الرئيسي
-	<i>GIS Analysis</i>	<i>Ps_L</i>	طول الخط المواري للمجرى الرئيسي
Schumm (1956)	<i>Re = 2√(A/π)/Lb</i>	<i>Re</i>	نسبة الاستطالة

Schumm (1956)	$Rc = 4\pi A/P^2$	Rc	نسبة الاستدارة
Horton (1932)	$Ff = A/Lb^2$	Ff	عامل الشكل
Horton (1932)	$Cc = 2\sqrt{\pi}A/P$	Cc	معامل الاندماج
Javed (2009)	$Bs = Lb^2/A$	Bs	شكل الخوض
Horton (1932; 1945)	$Dd = \Sigma Lu/A$	Dd	الكتافة النهرية
Horton (1945)	$Fs = \Sigma Nu/A$	Fs	تردد النهرى
Horton (1945)	$Dt = \Sigma Nu/P$	Dt	السيج الخوضى
Khadri & Moharir (2013)	$I_f = Dd \times Fs$	I_f	رقم الترشيح
Strahler (1952)	$C = 1/Dd$	C	ثابت صيانة القناة
Langbein & Leopold (1964)	$Lo = 1/2Dd$	Lo	طول الجريان البرى

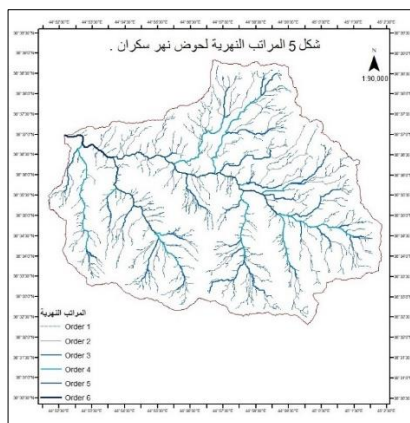
جدول 5. المنهجية او الطرق القياسية للمعلمات المورفومترية التضاريسية المستخدمة في الدراسة.

Reference	Formula	Symbol	Parameter
Melton (1957)	$H = Z - z$	H	تضرس الخوض
Schumm (1956)	$Rh = H/Lb$	Rh	نسبة التضرس
GIS Analysis	-	Z	أعلى ارتفاع في الخوض
GIS Analysis	-	z	أدنى ارتفاع في الخوض
GIS Analysis	-	Z_M	متوسط ارتفاع الخوض
Melton (1957)	$Rhp = H * 100/P$	Rhp	التضاريس النسبية
Melton (1957)	$Rn = Dd \times (H/1000)$	Rn	رقم الوعرة
(ابو رية) (2007)	$Gn = Rn/Rh$	Gn	الرقم الجيومتري
Sin (2012)	$Mr = MS_L/PS_L$	Mr	نسبة التعرج
Thomas (2010)	$Di = H/Z$	Di	التشريح الخوضى
Zavoianu (1985)	$\emptyset s = [(Ctl \times Cin)/A]/100$	$\emptyset s$	متوسط اخذار الخوض الكلى
Morisawa (1962)	$G_r = R/[(\pi/2) \times C_{lp}]$	Gr	نسبة اخذار القناة
GIS Analysis	-	Ctl	أطوال الخطوط الكتئورية
GIS Analysis	-	Cin	الفاصل الكتئوري
Strahler (1952)		H_c	المتحنى الميسموتري
Pike and Wilson (1971)	$Hsi = (Z_M - z)/(Z - z)$	Hsi	التكامل الميسموتري

3- النتائج والمناقشة

يبين الشكل 5، كل من الشبكة التصريفية لخوض نهر سكران الرئيسى وأحواضه الثانوية الأخرى ومراتبه الستة حسب طريقة Strahler (1957)، ونمط التصريف الشجري Dendritic، الذي يتميز به الخوض المدروس. ويرتبط النمط الشجري بالتجانس بخصائص مكاففها الصخرية، بعض النظر عن نوعها (روسية، نارية او متتحوله)، (سلامة، 2013، ص50)، ووحدة وتجانس صخورها والتي ضمنها، تعانى نقصا ملحوظاً في التحكم المهيكلى، (Mathew, 2016, p.15). ويمكن الاستدلال بهذا من دراسات جيولوجية عده، منها دراسة

(Karim 2007, p. 58) العمري وصادق (1977، ص59)، (Sissakian 2013, p.32)، (السياب وزملائه 2006, p.291) Goff & Jassim (1980, p.338) Buday & Tyracek (2006, ص143)، التي اشارت الى التكتوبات البركانية والمتحولة المسيطرة على الخوض، كسلسلة قنديل المتحولة ومجموعة والاش البركانية، المشوهة جداً لوقوع الخوض المدروس في نطاق "Crushed Zone المنطة المشوهة/ المكسورة"، ومن ثم تعديل بيئتها الجيولوجية وتغيرها بشكل كبير بسبب عوامل التجوية، التعرية، الكسور والمقاييس، مما يؤدي إلى تقليل التحكم في الجريان السطحي والتغذية الجوفية. يرى رحيم (2002، ص88) ان لهذا النوع من التصريف له تأثير على النظام الهيدرولوجي للنهر، من خلال سرعة انسياط مياه الامطار الى المجرى الرئيس، وبالتالي سرعة وصول ذروات الفيضان من اعلى الخوض الى اسفله، مصحوباً بمعدلات تعرية عالية للمنحدرات. وفيما يأتي أهم المعلومات المورفومترية المدروسة لخوض نهر سكران الرئيسي:



الخصائص الخطية Linear aspects

تكشف الجوانب الخطية لشبكة الصرف عن سلوك النهر وروافده من المنبع إلى المصب، ومعدل التصريف فيها. كما تعكس الضوابط الصخرية والهيكلية للخوض التصريفي، وفهم اشخصيته الهيدروديناميكية. يلخص الجدول 6، المعلومات الخطية المورفومترية الرئيسية المدروسة لخوض سكران الرئيسي وأحواضه الثانوية، كالمراقب النهرية، أعدادها، أطوالها، متوسط الطول، نسبة الطول، ومعدل ونسبة التشعب.

جدول 6 نتائج المؤشرات الخطية لخوض نهر سكران الرئيسي وأحواضه الثانوية.

المؤشر	سيكانيان 1	سكران 2	سكران الرئيسي	
المراقب النهرية U وأعدادها N_U				
757	61	176	504	1 N_U
169	15	31	120	2 N_U

39	3	6	30	$3 N_U$
17	1	3	13	$4 N_U$
2	-	1	1	$5 N_U$
1	-	-	-	$6 N_U$
984	80	217	668	$\sum N_U$
المراتب النهرية وأطوالها				
226.6	18.4	46.1	153.9	$1 L_u$
104.2	6.4	17.6	78.7	$2 L_u$
48.7	3.7	7.6	37.5	$3 L_u$
31.0	5.7	3.5	21.7	$4 L_u$
14.8	-	4.9	9.9	$5 L_u$
3.11	-	-	-	$6 L_u$
428.4	34.2	79.8	301.8	$\sum L_u$
متوسط طول المراقب النهرية				
0.3	0.3	0.3	0.3	$1 N_U / 1 L_u$
0.6	0.4	0.6	0.7	$2 N_U / 2 L_u$
1.2	1.2	1.3	1.3	$3 N_U / 3 L_u$
1.8	5.7	1.2	1.7	$4 N_U / 4 L_u$
7.4	-	4.9	9.9	$5 N_U / 5 L_u$
3.1	-	-	-	$6 N_U / 6 L_u$
نسبة أطوال المراقب النهرية				
0.5	0.4	0.4	0.5	$1 L_u / 2 L_u$
0.5	0.6	0.4	0.5	$2 L_u / 3 L_u$
0.6	1.6	0.5	0.6	$3 L_u / 4 L_u$
0.5	-	1.4	0.5	$4 L_u / 5 L_u$
0.2	-	-	-	$5 L_u / 6 L_u$
R_b				
4.5	4.1	5.7	4.2	$2 N_U / 1 N_U$
4.3	5.0	5.2	4.0	$3 N_U / 2 N_U$
2.3	3.0	2	2.3	$4 N_U / 3 N_U$
8.5		3.0	13.0	$5 N_U / 4 N_U$
2.0				$6 N_U / 5 N_U$
4.3	4.0	4.0	5.9	R_b
متوسط				

المراقب النهرية N_u وأعدادها

بين (Zavoianu, 1985, p.62)، أن هناك علاقة مباشرة بين حجم المخزن وعدد مجاري الدرجة الأولى، والتي تكون بشكل عام أكبر، كلما ارتفع ترتيب المخزن. هذا يعني أن الزيادة في عدد هذه الروافد يجب أن تؤدي

إلى زيادة في ترتيب التيار الرئيسي إذا كان الأخير يعكس حجم الحوض. يتكون حوض منطقة الدراسة من 985 مجرى نهري، توزعت على 6 مراتب. منها 668 مجرى لحوض سيكانيان الثنائى، يليه حوض سكران 1 وسكران 2، 217 و80 مجرى على التوالي. تحددت المرتبة الخامسة لنهرى سيكانيان وسكران 1، والمرتبة الرابعة لنهر سكران 2. ان شدة الانحدارات، كمية التساقط المطري العالى 400 < وقلة الغطاء النباتي وقلة ما تساهم به جذورها من اعاقة لعمليات الجريان المائي والنحت في المنطقة المدروسة، كان له دور كبير في توليد هذا العدد الكبير من الجارى المائية ومن ثم ارتفاع رتبها، نتيجة النحت التراجمى لها.

اطوال المجاري L_u ، متوسط طول المجاري L_{sm} ونسبة طول المجاري R_L

مؤشر على التطور الزمني لمقاطع التيار والاضطرابات التكتونية، فكلما ارتفعت المرتبة، زاد طول المجرى، مؤشر على التطور الزمني لمقاطع التيار والاضطرابات التكتونية، فكلما ارتفعت المرتبة، زاد طول المجرى، (Farhan, 2015, p. 461). بينما يتناقص L_u مع زيادة الرتب، بسبب هبوط المجاري من ارتفاعات عالية إلى منحدرات معتدلة، وانخفاض في معدلات التعرية التراجمية. أما L_{sm} و R_L ، فتشير التغييرات في نسبها من مرتبة إلى أخرى، إلى مرحلة الشباب المتأخرة من تطور الشكل الجيومورفي، (Horton, 1945, p.291) و (Melton, 1957, p.5). بالنسبة للحوض المدروso، يلاحظ ان الزيادة في L_{sm} R_L متشابهة من مرتبة لآخر ومن حوض لآخر، ويعود ذلك الى التشابه في موفولوجيا الاحواض، في النوع، النظام الصخري، درجة الانحدار والظروف المناخية. كما ان هناك علاقة طردية بين اطوال المجاري المائية ومساحة الاحواض النهرية حيث ان الحوض الرئيسي تبلغ اطوال مجاريه المائية 428.4 Km^2 120.7 Km ، ومساحة 79.8 Km^2 ، حوض سكران 1 بطول 301.8 Km ، ومساحة 84.96 Km^2 ، حوض سكران 2 بطول 34.2 Km ، ومساحة 9.74 Km^2 ، وهي أصغر الاحواض مساحة وأقصرها بأطوال المجاري.

نسبة التشعب R_b

يصف مدى الاندماج والاختصار الذي تخضع له المجاري المائية مع تطورها وزيادة رتبها، أذ يتناقص عدد المجاري بزيادة الرتبة عادةً، أي من المرتبة الاولى الاكثر عدداً إلى مجرى واحد هو المجرى الرئيسي الأعلى رتبة، (سلامة، 2013، ص189). وتعتبر R_b أحد العوامل المتحكمة في معدل التصريف، من خلال علاقته بارتفاع اعداد المجاري. فجريان المياه في المجاري المتشعبه ذات الأعداد الكبيرة (كثافة تصريفية عالية)، تقلل من خطر الموجات الفيضانية، عن طريق توزيع هذه المياه بين الروافد واطالة الوقت اللازم لتجمیع المياه في مجرى واحد لتكوين موجة فيضانية عالية من جهة، وللتريشح المائي من جهة اخرى. أما في حالة انخفاض اعداد المجاري المائية وانخفاض معدلات التشعب معها، فإن مياه السیول تتجمیع في مجاري محدودة، وبالتالي

زيادة خطر الفيضان. ذكر Strahler (1956, P.P.914-915) ، ان قيم R_b عادة ما تدرج من 3.0-5.0، كما بين اهنا تظهر نطاق صغير من التباين في قيمها في بيئات او اقاليم مختلفة، باشتئاء المناطق التي تسيطر عليها العناصر الجيولوجية المتحكمة. إذ تنخفض قيم R_b في المناطق المنبسطة او الشبه المنبسطة الى 2، وتزداد الى 4 في الاحواض الجبلية والمناطق المجزأة بشدة، لأنها خاضعة للعوامل الجيومورفولوجية، مع الأخذ في الاعتبار أن التكوين الحالي والسمات الشكلية لشبكة النهر تعكس آثار التغير المناخي، الحركات الجيولوجية، الطباقية والتعرية على مدى فترة تمت من الماضي الجيولوجي، (Zavoianu, 1985, p.48) و (Horton, 1945, p.) . من ملاحظة جدول 6، نجد أن R_b ليس متبايناً من مرتبة أخرى، ومن حوض لأخر، وإن هذا الشذوذ يعتمد على التطور الجيولوجي والصخري لشبكة الحوض المائي. فقد تباينت R_b لخوض سكران الرئيسي بين 2-8، بينما بلغت في حوض سيكانيان الثانوي بين 2-13. ويعود هذا التباين إلى شدة الانحدارات والتقطيع والتشريح في الحوض، نتيجة الطبيعة المعقدة وما شهدته من التشوه والضغط التكتوني. وبالتالي، تميز المراتب الأولية التي تتراوح فيها R_b بين 2-5 بجريان سطحي سريع مع تقليل فرص إعادة التغذية الجوفية. والعكس بالعكس صحيح، بمحاري الرتبة 4، التي عانت R_b الشذوذ فيها مما يدل على طول الجريان السطحي فيها ومن ثم زيادة فرص التغذية الجوفية فيها. بينما حوضي سكران 1 و 2 لم تعانى الشذوذ، إذ تدرجت R_b بين 2-5.

الخصائص المساحية Areal aspects

مساحة الحوض سمة هندسية رئيسية لأي حوض تصريفى، وهو العنصر المورفومترى الذى يحدد - فيما يتعلق بالظروف الفيزيوغرافية المحلية- مقدار تبادل المادة والطاقة مع البيئة المحيطة. فالمياه الزائدة (الشكل الرئيسي للمادة المتحركة) التي يتلقاها الحوض، والتي لا تفقد من خلال التبخّر أو العمليات الغيرية والكيميائية والجيولوجية، تتحرك عن طريق الجريان السطحى وتحت السطحى، عبر شبكتها القنوية إلى مصب المجرى الرئيسي، (Zavoianu, 1985, p.63). في حالة تشابه كل العوامل المورفولوجية فإن حجم التصريف وقعته وذروة التدفق للشدة المطرية ترجعان أساساً إلى مساحة الحوض التصريفى، (عواش، 2018، ص162). وتكشف الجوانب المساحية للحوض التصريفى عن السمات، الصخور، البنية الجيولوجية، الظروف المناخية المرحلة الحالية للحوض، نقل الرواسب، النظام التصريفى، خصائص الجريان السطحى، ومستوى التغذية الجوفية. يظهر الجدول 7، المعلومات الشكلية المورفومترية لخوض نهر سكران الرئيسي، نسبة الدائرية، الاستطاللة، عامل الشكل، شكل الحوض، الكثافة التصريفية، تردد النهرى، النسيج الحوضى، طول الجريان البرى، ثابت صيانة القناة، رقم الترشيح والرقم الجيومترى.

نسبة الاستدارة R_c ، معدل الاستطالة R_e ، عامل الشكل F_f ، شكل الحوض B_s ، معامل الاندماج C_c

تتعلق قيم C_c و R_c و R_e و F_f و B_s ، بالمرحلة الجيومورفولوجية، الترشيح، حجم الجريان السطحي، القابلية للتعرية وحمل الرواسب، (Javed, 2009, p. 266). إذ بلغت 0.6، 0.4، 0.5، 0.4، 2.07 و 0.4 على التوالي، أي إن الحوض يميل إلى الشكل البيضوي، وبالتالي فإنه ذو كفاءة معتدلة في تصريفه للجريان السطحي، بتوليد قمم فيضية أكثر أنساطاً خلال مدة زمنية قصيرة، وقابلية عالية للتعرية وحمل الرواسب. قد يعود ذلك إلى سيطرة التراكيب البنوية الكبيرة والطيات المحيطة التي أثرت في طول خطوط تقسيم مياهاها، أمتداد وتوسيع الحوض، ووصول الحوض إلى منتصف مرحلته الجيومورفولوجية. إضافة إلى، الانحدارات الشديدة التي عملت على تنشيط عوامل التعرية والاحت وجعل روافد المراقب الأولى، أكثر طولاً، والتي تركت أثراً لها في ارتفاع قيم R_c ، ومن ثم، زيادة فرص التبخّر والتسرّب. أيضاً، وجود التكوينات النارية والمتحولة التي تعرضت للطهي، الكسر، التصدع، والتتشوه، بحكم موقعها في النطاق المندفع، كما يبيّنها الخرائط الجيولوجية لوزارة الصناعة والمعادن العراقية، لسنة 1997. إضافة إلى تأثيرها الواضح لعوامل التجوية، مما انعكس على خلق جريانات مائية أقل وأبطأ. بالنسبة للأحواض الثانوية، أشترك حوض نهر سيكانيان بقيم مشابهة للحوض الرئيسي في ميله للشكل البيضوي. أما حوض سكران فهو أكثر الأحواض استطالة. مما يدل على أن الأحواض ذات القيمة المنخفض والتي تبتعد عن الشكل الدائري، تعاني ضعف الترابط بين أجزاء الحوض النهري وتزوج خطوط تقسيم المياه وسيادة عمليات التعرية التراجعية فضلاً عن زيادة نسبة كميات الرواسب المنقوله. ذكر Zavoianu (1985, p.57) ان الأحواض المستطيلة، وعامل شكلها منخفض، تتطور فيها المجاري المائية من مرتبة عالية إلى الأعلى، في الأجزاء العليا من الحوض، بسبب الصخور والتكوينات الهشة والتضاريس العالية التجزء، التي سمحت بسرعة تطور مراتبه.

جدول 7 نتائج المؤشرات المساحية لخوض نهر سكران الرئيسي وأحواضه الثانوية.

Symbol	Siakanian 1	Skeran 2	Skeran 1	Siakanian 2
Re	0.4	0.3	0.3	0.4
Rc	0.6	0.4	0.6	0.5
Ff	0.5	0.2	0.4	0.5
Cc	0.4	0.4	0.4	0.4
Bs	2.07	4.5	2.6	2.2
Dd	3.5	3.5	3.6	3.6
Fs	8.2	8.2	9.7	7.9

19.0	4.4	10.1	14.7	Dt
29.0	28.8	34.3	27.9	I_f
0.3	0.3	0.3	0.3	C
1.8	1.8	1.8	1.8	Lo

كثافة التصريفية D_T ، التردد النهري D_d والنسيج الطوبوغرافي

من أكثر المؤشرات الشكلية الأخرى حساسية للتغيرات خلال فترات زمنية قصيرة. فكثافة مجاريها المائية تعكس مدى توافر الرطوبة، وبالتالي كمية وشدة هطول الأمطار. هذا يجعل من الشبكة التصريفية مهمة لمندجة علاقة جريان الأمطار والتنبؤ بالجريان السطحي، وهو احتمال تم الاعتراف به على نطاق واسع، (Wharton, 1994, p.540). إذ يؤثر توزيعها المكاني على تجزئة التضاريس، ويدرجة كبيرة، أنواع وكثافة بعض العمليات الجيومورفولوجية، كما أنها تلعب دوراً مهماً في عمليات الجريان السطحي، وبالتالي، يؤثر على شدة الفيضانات وتركيزها وحمل الرواسب وحتى توازن المياه في حوض الصرف المائي، (Zavoianu, 1985, p.135).

تميز حوض نهر سكران الرئيسي والأحواض الثانوية بارتفاع قيم D_s ، D_d ، F_s ، مع انتشار النسيج المتوسط فيها. فقيم D_d لما تتميز به المنطقة من شدة الانحدار، وجود طبقات تحت سطحية غير نفيدة، هطول مطري عالي مع غطاء نباتي متناشر وتعرض الاراضي للتعرية والتآكل، وبالتالي، إنتاج جريان سطحي مرتفع، مما يقود لحدوث قمم وكثبيات كبيرة من الفيضانات. ففي هذه المناطق تتراوح قيم D_d بين 1.5-2.0، ونادراً ما يتجاوز 3.0، كما أشار كل من (Horton 1947, Langbein 1932, 1945, p.357; 1945, p.359) و (Altaf et al 2013, p.5) و (Pallard 2009, p.1019). تشير القيم العالية في الأحواض الثانوية إلى هيمنة الطوبوغرافية والانحدارات الشديدة، الصخارية غير النفيدة نسبياً، انخفاض إمكانات التغذية الجوفية، وارتفاع الجريان السطحي في الحوض التصيفي بأكمله. ولأن D_t يعبر عن درجة تقطع الحوض بالمجاري المائية، فإن حوضي سيكانيان وسكران 1، تنتشر فيهما النسيج المتوسط، أما حوض نهر سكران 2 فتميز بالنسيج الخشن، الذي يوجد في مناطق الصخور الضخمة الصلبة، أو منفذة لوجود غطاء نباتي جيد، وفي الأحواض التي تكون في بداية مرحلتها التعروية، (ابو رية، 2018, ص190) و (Smith, 1950, pp. 666-666).

رقم الترشيح I_f ، ثابت صيانة القناة C و طول الجريان البري Lo

تشير I_f العالية إلى الميئنة الميكيلية، الليثولوجية الصلبة وغير المنفذة، التضاريس الجبلية شديدة الانحدار التي تؤدي إلى تسرب أقل للمياه، انخفاض التغذية الجوفية وارتفاع الجريان السطحي في حوض التصيف بأكمله، (Pophare & Balpande, 2014, p. 1509). وبهذا تتبادر I_f من منطقة لآخر حسب القابلية الترشيحية لطبقاتها التحت السطحية، إذ يرتفع في الأجزاء العليا من الحوض، لارتفاع نسبة التقطيع والتعرية في الحوض، والعكس

بالعكس في اجزاء الحوض الدنيا، لمطقة الدراسة رقم ترشيح عالي 29.0، مما يرفع فرصه تكوني الجريانات السطحية العالية، لأنخفاض فرص الترشيح. تبلغ الجريانات السطحية أعلى قيمها في حوض سكران 1، يليه سكران 2، ثم سيكانيان، 34.3، 28.8 و 27.9 على التوالي. مما يدل على ان الحوض اجمالا وبكل أحواضه الثانوية ذات امكانيات عالية لتكوين جريان سطحي لأنخفاض الترشيح.

أن ارتفاع قيمة **C** يدل على اتساع مساحة الحوض على حساب مجاري شبكتها المحدودة الطول، وبالتالي انخفاض كثافتها التصريفية، (ابوريه، 2007، ص 91). تشاهدت قيم **C** للأحواض الثانوية مع قيمة الحوض الرئيسي، 0.3، أي ان الحوض الرئيسي يحتاج الى Km^2 0.3 للحفاظ على مجراه. ويعود تشابه القيم الى تشابه الظروف المناخية والجيولوجية التي أثرت في تشكيل شبكتها النهرى، انخفاض القابلية الترشيحية للصخور تحت سطحية، قصر أطوال مجاريها بالنسبة لمساحته الحوضية.

أما **L₀** فهو المسافة المقطوعة لمياه الأمطار الغزيرة وذوبان الجليد الزائد - بعد استنفاد قدرة كل من التربة للترشيح والغطاء النباتي للاحتفاظ - على الأرض المنحدرة، إلى أقرب قناة. وهو متغير مهم تعتمد عليه عمليات الجريان السطحي والفيضان، لأنه يعد عنصراً مهماً في الدراسة التفصيلية لعمليات الجريان السطحي في أحواض الصرف وخاصة وقت التركيز **Tc**، أي الوقت اللازم لوصول المياه السطحية، في فترة الفيضان، من أبعد نقطة إلى محطة القياس. كما يؤثر على التطور الطويل المدى لأحواض الصرف. يعتمد **L₀** على طول المنحدر، درجة تجزئة التضاريس، وبالتالي على كثافة التصريفية، وطبيعة وحالة السطح، اذ يتاثر بطريقة استخدام الأرض ونوع الزراعة (Zavoianu, 1985, p.134-133). أثرت تشابه الظروف المناخية، الجيولوجية والأنظمة الهيدروليكية الخاصة المشكلة لشبكة التصريف النهرى في تقارب قيم **L₀** لحوض منطقة الدراسة وأحواضه الثانوية، اذ بلغت 1.8. يرى Zavoianu (1985, p.134)، ان الترشيح في التدفق البري يحدث فوق منطقة الحوض بأكمله، بينما يستمر تدفق التيار من عدة ساعات إلى عدة أيام بعد تساقط الأمطار، اعتماداً على حجم القناة، والمسافة التي يقطعها الماء في القناة، وبالتالي على حجم الحوض، وكذلك على منحدر وحالة القناة، والتي قد تتأثر بأعمال هندسة النهر.

الخصائص التضاريسية Relief Aspects

تعتمد العمليات التضاريسية وما يرتبط بها من جريان مائي، الترشيح، التعرية وأنواعها، على الميكل التضاريسى للمنطقة، المراحل التعروية التي يمر بها الحوض / الاقليم (الشباب، الناضج، الشيخوخة)، الوضع والتاريخ الجيولوجي، نوع الصخور السائدة، الظروف المناخية والانحدار، إلخ. ولأن التضاريس هي بحد ذاتها نتاج العمليات الجيولوجية والجيومورفولوجية العاملة على سطح الأرض، فهي من مؤشرات ذات الصلة المباشرة

والمؤثرة في معدلات الجريان السطحي، الترشيح وحرف وتعريمة التربة. ومن مؤشرات قياس الخصائص التضاريسية المستخدمة للتمييز بين الخصائص الفيزيوجرافية للأحواض المائية. نتائج المعلمات التضاريسية للخوض لخوض نهر سكران، كالتدرس، التضاريس النسبية، الوعورة، نسبة التعرج، نسبة الانحدار القناة ومتوسط انحدار الخوض الكلى في الجدول 8.

جدول 8 نتائج المؤشرات التضاريسية لخوض نهر سكران الرئيسى وأحواضه الثانوية.

Symbol	سيكانيان	سكران 1	سكران 2	سكران الرئيسى
H	2423	2289	2075	2523
Rh	178.2	299.2	313.1	159.7
Rhp	1103.0	489.6	374.4	1311.0
Rn	8.6	8.1	7.3	9.0
Gn	0.05	0.03	0.02	0.06
Mr	1.20	1.14	1.07	1.16
Di	0.7	0.7	0.7	0.7
Øs	5.0	6.8	4.7	5.3
Gr	117.6	177.7	193.2	99.2
Ctl	424.4	151.9	45.9	636.0
Cin	100	100	100	100
Hsi	0.5	0.5	0.5	0.5

تضرس الخوض R ، نسبة التدرس R_h والتضاريس النسبية R_{hp}

بلغ R ، R_h ، R_{hp} ، لخوض سكران الرئيسى 2523، 159.7، 1311.0 على التوالي. وهي قيمة عالية تتوافق مع المناطق الجبلية المتدرسة، المقاومة الصخرية وضعف عوامل التعريفة. والعكس بالعكس للقيم المنخفضة التي تشير الى ميلان المنطقة الى الانبساط وقلة التدرس، لضعف مقاومة الصخور ونشاط عوامل التعريفة، ومن ثم، انخفاض معدلات الجريان السطحي وارتفاع معدلات التعريفة والانجراف. وهذا التباين في ارتفاعات تعكس الخصائص المورفولوجية للتضاريس، الانحدار الكلى وشدة عملية التعريفة في الخوض، (ابو رية، 2007، ص56)، (علوان، 2014، ص49)، (Melton, 1957, p.5) و (Schumm, 1957, p.612). أخفضت قيمة R_h لخوض سيكانيان 2423، وذلك -رغم كونه أكثر الأحواض الثانوية تدرسًا- إلا أنه أطوالها بطول حوضه Km 13.6، أي أن النهر يقطع مسافة طويلة من المتبع وحتى مصبه، ويترابع نحو المنابع نتيجة التقدم في دورته الحية، ميلان المنطقة نحو الانبساط وقلة التدرس في أجزاءه الدنيا. بينما أرفقت قيمة R_{hp} لخوض سيكانيان وذلك بسبب طول محيطه البالغة Km 45.52. من جهة

أخرى، تميز حوض سكران 2، بارتفاع قيم R_h ، والانخفاض R_{hp} ، على التوالي. وذلك لأن الحوض أقل الأحواض الثانوية بتضرسها 2075 m، وطول حوضها 6.63 Km، وطول محيطها Km 18.04 ، طول المجرى الرئيسي وقلة التضرس بالنسبة لمساحتها، مما يولد عنها انخفاض قوة الجريان السطحي في الحت والتآكل.

رقم الوعورة R_n ، الرقم الجيومترى G_n ، نسبة التعرج M_r ورقم التشريح D_i

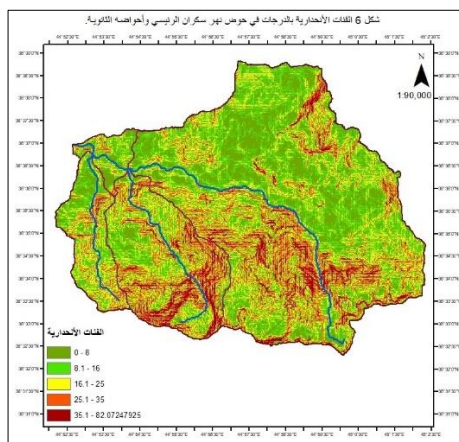
ترتبط قيم هذه المؤشرات بالتضرس الحوضى وكثافته التصريفية، ومرحلة الحية، (ابو رية، 2007، ص60) و (Thomas, 2010, p. 150). ترتفع قيمها مع ارتفاع كل من قيم R ، Dd ، التقدم في المرحلة الجيوجرافية، شدة الانحدارات والتراكيب المعقدة وبالتالي، زيادة عمليات الحت والنقل. بينما تنخفض القيم في مرحلة الشيخوخة، حيث تكون المنطقة أقل عرضة للتعرية والتآكل. لخوض نهر سكران الرئيسي قيم R_n عالية بلغت 9.0، وقيم G_n منخفضة، بلغت 0.06، مما يدل على شدة التضرس الحوضى ووعورته، تعقيد تراكيبه، وتعرية التربة وحداثة دورته التحتائية. رغم تقارب القيم لخوض سيكانيان وسكران 1، والتي بلغت 8.6 و 8.1 على التوالي لقيم R_n ، و 0.05 و 0.03 لقيم G_n على التوالي، إلا إن حوض سكران 2 كان أقل الأحواض بقيمة R_n و G_n ، إذ بلغت 7.3 و 0.02 على التوالي. يعود ذلك إلى انخفاض قيم R ، Dd ومساحته الحوضية. أما D_i ، فتشير إلى درجة التشريح أو التآكل الرأسي ومراحل تطور التضاريس في أي منطقة فيزيوغرافية معينة، فإن قيمها تتراوح بين 1 للمنحدرات العمودية، كالجروف الأساسية لمنحدرات التلال أو الشواطئ البحرية، إلى 0 الذي يشير إلى الغياب التام للتشريح/التآكل العمودي، وبالتالي، الطبيعة المسطحة للمنطقة، (Thomas, 2010, p.150). تميزت منطقة الدراسة وأحواضها الثانوية بكل من أحواض عالية التشريح عموماً، إذ بلغت 0.7. وعليه، تميز حوض نهر سكران الرئيسي بأكمله، بالتضاريس الجبلية الوعرة والمكسورة والمناطق الشديدة الانحدار. تقسم قيم M_r ، بين 1-4 ، مع اختلافها مكانياً وزمانياً على طول النهر الواحد، كونها تعكس الظروف البيئية السائدة على طول المجرى النهري، وخصائصها الهيدرولوجية والترسيبية، (سلامة، 2013، صفحة 222). فإذا كانت النسبة تقل عن (1) يكون النهر مستقيماً، (1 - 1.5) يكون النهر متوي Sinuos، (>1.5) يكون النهر متعرجاً Meandering، (علوان، 2014، ص65). حوض نهر سكران من الانهار الملتوية، إذ بلغت نسبة تعرجها 116. كما تقارب أحواضه الثانوية هذه القيمة، إذ بلغت 1.20، 1.14 و 1.07 للأحواض سيكانيان، سكران 1 و سكران 2. ويعد هذا التشابه بالقيم إلى تشابه الأساس الصخري للخوض، من حيث تكوينها الجيولوجي، قابليتها ومدى استجابتها لعوامل التعرية المختلفة بين أجزاء ومناطق الخوض.

متوسط انحدار الخوض الكلي Θs و نسبة التدرج G_r

من الناحية الميدرولوجية، يتحكم انحدار سطح الأرض داخل حوض التصريف، بشكل مباشر في الطاقة الحركية للمياه السطحية الجارية، وفي شكل وطبيعة جريانها. أضافة إلى تأثيره المباشر على ظاهرة انجراف التربة بفعل قطرات المطر، نتيجة زيادة قوى السحب على المنحدرات. فالمنحدرات الشديدة الانحدار لها جريان سطحي أعلى ومعدلات ترشيح منخفضة، مما يؤدي بيدوره إلى تسريع التعرية، خاصة في حالة المنحدرات القاحلة، (Sujatha, 2015, p.333). وأيضاً، من خلال علاقة الانحدار بالترشيح، رطوبة التربة وإمدادات المياه الجوفية للجداول. وهو أحد العوامل الرئيسية المتحكمة في وقت تركيز الجريان السطحي ووقت التدفق البري أو تركيز هطول الأمطار في قنوات المجرى، وبالتالي، له أهمية مباشرة فيما يتعلق بحجم الفيضان. ولا يمكن التعامل مع تكوين الجريان السطحي، حركة الفيضانات، نمذجة قنوات الأنهار وتطورها، ولا عمليات التعرية والنقل التي تحدث في الشبكة النهرية، دون معرفة منحدرات سطح الأرض. لحساب متوسط انحدار الخوض الكلي Θs ، تم اعتماد أطوال الخطوط الكتتويرية. وذلك، للحصول على تقييم أسرع منحدرات وديان المنطقة، (Khadri & Moharir, 2013, p. 848) (Zavoianu, 1985, p.171-170). بلغت Θs لمحوض سكران 5.0 على التوالي. أما G_r فتشير إلى ميل وانحدار القناة النهرية، مما يتبع تقييم حجم الجريان السطحي، الرئيسي قيماً معتدلة، 5.3. وبلغت اقصاها في حوضي سكران 1، 6.8، يليها سيكانيان وسكران 2 بقيمة 4.7 على التوالي. وهناك العديد من العوامل التي تحدد انحدار القناة النهرية، مرحلة التطور الجيومورفولوجي للمنطقة، الصخور التي تعبّر عنها القناة وبنيتها وتكتونيتها، مساحة الخوض. فمنحدر القناة يتناسب عكسياً مع جريان المياه ومساحة الخوض، بينما يتناسب طردياً مع حجم الرواسب في القناة. يعد منحدر القناة الأكثر ديناميكية، يميل إلى تحقيق التوازن النسبي بسرعة فيما يتعلق بالظروف الفيزيوجرافية المحلية التي تحدد المستوى القاعدة ومقاومة الطبقة التحتية للعمل الذي يمارسه الماء والحمل المعلق. وهو يتحكم في معظم العمليات المائية التي تحدث في القنوات، كمعدلات التآكل، عمليات النقل والترسيب وكمية الحمل الزائد (Zavoianu, 1985, p.175). القيم العالية يشير إلى منحدر حاد وجريان مرتفع. ينبع نهر سكران من سلاسل جبال قنديل، والقمم الحدودية الأخرى، على ارتفاع 3600 m تقريباً. يبلغ مسارها الإجمالي حوالي Km 18.87، حتى التقائه بنهر بالك، حاملاً تصريف جميع روافده الثانوية. يتدرج قناة النهر Km/m 99.2. بينما أعلى تدرج بلغ Km/m 193.2 لقناة سكران 2، الذي ينبع من ارتفاع m 3191 وبفارق تضارسي m 2075 وبطول مجرى Km 6.84 (طول الخط الموازي لامتداد القناة). يليه سكران 2 وسيكانيان، بقيمة، Km/m 177.7 و 117.6 Km/m على التوالي. اعتماداً على ASTER-DEM، وتصنيف Zink، تم استخلاص خريطة الانحدار

للحوض المدروس، وتقسيمها الى 5 فئات الانحداريه، خريطة 6، مع تحديد المساحات التي تشغله كل فئة، وتحديد انواعها، وكالاتي:

1- نطاق الاراضي المسطحة 0-8: هي مناطق تميز باستواء سطحها النسي، توجها وقلة انحدارها. وتمثل بالسهول. وهي تشغل مساحة صغيرة من منطقة الدراسة وممثل نسبة 7.1% من المجموع الكلي للمنطقة. تتوزع على طول المناطق الغربية والشمالية الغربية لمنطقة الدراسة. وبعد اجتياز النهر الرئيسي وروافده الكبيرة، لمنطقة الجبال العالية، واخذه الاتجاه الغري، حسب الاتجاه العام للمنطقة، يدخل منطقة هيئة الانحدار نسبيا قبل التقائه بنهر بالك. بالنسبة للأحواض الثانوية، كانت هذه الفئة هي الاقل في حوض نهر سكران 1، بنسبة 2.7% وأعلى نسبة 7.8% لحوض سيكانيان.



جدول 8، الفئات الانحداريه بالدرجات في حوض نهر سكران الرئيسي وأحواضه الثانوية.

الفئات	صفاتها	نوع الطبوغرافيا	السكنان 1	السكنان 2	سكنان الرئيسي
8-0	مسطحة	السهول	7.8	2.7	5.6
16-8.1	موج خفيف	السهول التحتائية النهرية العالية	24.2	12.9	23.0
25-16.1	متدرجة	اقلام الجبال	21.0	24.4	30.1
35-25.1	مقطعة ومجأة	السفوح المقطعة بالوديان والجادوال	27.0	25.3	15.5
35 >	مقطعة بدرجة عالية	الجرف والمنحدرات الجبلية	19.7	34.6	25.2
مج			100	100	100

- 2- نطاق الارضي ذات التموج الخفيف 8.1-16: شغلت نسبة 22.2 % من المجموع الكلى لمساحة المنطقة. تتمثل مظاهرها بمناطق السهول التحتائية النهرية العالية، ومناطق استقرار مخلفات التجوية والتعرية من السفوح العالية. تتوزع حول الاراضي المسطحة ضمن النطاق الاول، وبعض المناطق الصغيرة الموزعة في اجزاء المنطقة، كأجزاء الوسطى من الحوض. أعلى نسبة لخوض نهر سيكانيان 24.2 %، يليه حوضي سكران 2، وسكران 1 بنسبة 23.0 و 12.9 على التوالي.
- 3- نطاق الارضي المتموجة 16.1-25: نسبتها 26.9 % من مجموع المساحة الكلية، وهي الاعلى بين الفئات الانحدارية في المنطقة، وتمثل مناطق اقدام الجبال. أعلى نسبة للفئة كانت 30.1 % لخوض نهر سكران 2، وأدنى نسبة 21.0 %، في حوض نهر سيكانيان.
- 4- نطاق الارضي المقطعة والمحرجة 25.1-35: بلغت نسبة 22.0 %، وتمثل سفوح التلال والمرتفعات المقطعة والمترشحة بالوديان والجداول النهرية وشبكاتها، نتيجة التعرية المائية. بلغت نسبتها في حوض سيكانيان 27.0 %، يليه 25.3 % و 15.5 % لخوضي سكران 1 و سكران 2 على التوالي.
- 5- نطاق الارضي المقطعة بدرجة عالية جدا 35 <: تشغله نسبة 21.8 %، من مجموع المساحة الكلية للخوض. وهي تمثل مناطق الجروف والوجه الحر للمنحدرات المشرفة على الوديان الجبلية العميقة. أعلى نسب هذه الفئة 34.6 % في حوض سكران 1، يليه 25.2 % و 19.7 % لخوضي سكران 2 وسيكانيان على التوالي.

المنحنى المبسومترى H_c والتكمال المبسومترى H_{is}

يستخدم H_c ، كأحدى الطرق المستخدمة لقياس انحدار الاوحاض التصريفية، فهو يوضح توزيع ارتفاع المنطقة ومساحتها. حيث تقسم المنطقة الى قطاعات تصارييسية عمودية (ارتفاعات) وتحديد النسبة المئوية لارتفاعها ومساحتها بالنسبة للمنطقة المدروسة. و H_c كما عرفه Strahler (1952, p.1118) و Langbein (1974, p.141)،⁽¹⁾ بانه دراسة توزيع مساحة سطح الأرض، أو مساحة المقطع العرضي الأفقي، لكتلة اليابسة بالنسبة لارتفاع. وهو أبسط أشكال وحدات القياس المطلقة. يستخدم لأعادة تقييم معدل تآكل مستجمعات المياه، المراحل الجيومورفولوجية لتطور الأشكال الأرضية، وخصائصها الهيدرولوجية، (Strahler, 1952, p.1119 & 1128)⁽²⁾ و (Schumm, 1956, p.614)⁽³⁾ و (Horton, 1932, p.352)⁽⁴⁾، ولتحديد، شرح العمليات التعريفية والتكتونية والتفاعل بينهما في أي منطقة. وأيضا يوفر مؤشرا جيومورفيا مهما لتوثيق الأهمية النسبية لهذه العمليات. ولهذا، استخدام تحليل التكمال المبسومترى في العديد من الدراسات الخاصة بالجيولوجيا، الجيومورفولوجيا، الهيدرولوجيا،

الجموديات، التكتونية، (Siddiqui, 2014, p.277)، والمناخية، كتحديد الغطاءات الثلوجية وعمقها، توزيعات التساقط المطري، الجريان السطحي والتباخر، (Langbein, 1947, p.141)، (Zavoianu, 1985, p.191)، (Vivoni, 2008, p.5) و(Horton, 1932, p.352).

أما H_{is} فهو مقياس للمرحلة التي وصل إليها الخوض أو المظهر الأرضي، لأنه يعبر عن كتلة حوض الصرف المتبقى مقارنة بحجمه الأصلي، فوق المستوى الأساسي المرجعي كنسبة مئوية، والواقعة أسفل المنحدر، (Schumm, 1956, p.614) و(Siddiqui, 2014, p.280). أي، كلما ارتفعت النسبة ارتفعت معها حجم الكتلة الأرضية المتبقية. وهو أيضاً مؤشر على دورة التآكل، او الوقت الإجمالي اللازم لخفض مساحة الأرض إلى مستوى القاعدة. ويمكن استخدامه في الجريان السطحي والتنبؤ بعائد الرواسب في الأحواض المائية، كما أشار (Zavoianu 1985, p.192-195). تبين من الجدول 9 (أ، ب، ج، د) والشكل 7 (أ، ب، ج، د)، ان التكامل المبسوطي بلغ 0.5 لخوض نهر سكران الرئيسي واحواضه الثانوية. وعليه، فالخوض يمر في مرحلة التوازن او النضج، لتوازن قوى الرفع التكتونية والانخفاض والتآكل فيه. وإن 50% من كتل الصخور الأصلية لهذه الأحواض موجودة فيه، وبالتالي، عملية جرف وتعرية المواد الصخرية القابلة للتحت والجرف في الخوض، معتدلة، مما يسهم في انتاج رسوبى متوسط، رغم توفر ظروف بيئية مناسبة كالتساقط العالى.

جدول 9، المساحات النسبية والارتفاعات النسبية للخطوط الكتورية لخوض نهر سكران الرئيسي.

المناطق	الارتفاعات /م	متوسط الارتفاع /م	الارتفاع النسبي	المساحة /كم ²	% المساحة النسبية
100	0.11	0.1	0.81	29	1100-1071 1
99.89	1.18	1.4	3.59	129	1200-1100 2
98.70	2.52	3.0	6.37	229	1300-1200 3
96.18	3.84	4.6	9.15	329	1400-1300 4
92.35	3.76	4.5	11.94	429	1500-1400 5
88.58	3.73	4.5	14.72	529	1600-1500 6
84.85	4.54	5.5	17.50	629	1700-1600 7
80.31	5.72	6.9	20.28	729	1800-1700 8
74.60	6.11	7.4	23.07	829	1900-1800 9
68.49	6.27	7.6	25.85	929	2000-1900 10
62.22	6.68	8.1	28.63	1029	2100-2000 11
55.54	6.11	7.4	31.41	1129	2200-2100 12
49.43	5.52	6.7	34.20	1229	2300-2200 13
43.91	5.84	7.1	36.98	1329	2400-2300 14
38.07	5.32	6.4	39.76	1429	2500-2400 15
32.76	4.16	5.0	42.54	1529	2600-2500 16
28.59	4.11	5.0	45.33	1629	2700-2600 17

24.48	4.33	5.2	48.11	1729	2800-2700	18
20.15	4.49	5.4	50.89	1829	2900-2800	19
15.66	3.87	4.7	53.67	1929	3000-2900	20
11.79	3.66	4.4	56.46	2029	3100-3000	21
8.13	3.15	3.8	59.24	2129	3200-2100	22
4.98	2.38	2.9	62.02	2229	3300-3200	23
2.60	1.80	2.2	64.80	2329	3400-3300	24
0.79	0.63	0.8	67.58	2429	3500-3400	25
0.16	0.15	0.2	70.20	2523	3594-3500	26
120.7						المساحة الكلية

جدول 9 ب، المساحات النسبية والارتفاعات النسبية للخطوط الكتورية لخوض نهر سيكانيان الشانوي.

الطبقات	الارتفاعات /م	المساحة النسبية	متوسط الارتفاع /م	الارتفاع النسي	المساحة /كم ²	%
100	0.1	0.1	0.8	29	1171-1200	1
99.9	1.1	0.9	3.6	129	1200-1300	2
98.8	2.6	2.2	6.4	229	1300-1400	3
96.2	3.3	2.8	9.2	329	1400-1500	4
92.9	3.0	2.5	11.9	429	1500-1600	5
89.9	4.1	3.5	14.7	529	1600-1700	6
85.8	4.9	4.2	17.5	629	1700-1800	7
80.9	5.8	4.9	20.3	729	1800-1900	8
75.1	6.1	5.2	23.1	829	1900-2000	9
68.9	7.2	6.1	25.8	929	2000-2100	10
61.8	6.9	5.8	28.6	1029	2100-2200	11
54.9	6.2	5.3	31.4	1129	2200-2300	12
48.7	6.6	5.6	34.2	1229	2300-2400	13
42.1	5.9	5.0	37.0	1329	2400-2500	14
36.2	4.4	3.7	39.8	1429	2500-2600	15
31.9	4.5	3.8	42.5	1529	2600-2700	16
27.3	4.8	4.1	45.3	1629	2700-2800	17
22.5	5.1	4.3	48.1	1729	2800-2900	18
17.4	4.0	3.4	50.9	1829	2900-3000	19
13.4	3.9	3.3	53.7	1929	3000-3100	20
9.5	3.4	2.9	56.5	2029	3100-3200	21
6.1	2.8	2.4	59.2	2129	3200-3300	22
3.3	2.3	1.9	62.0	2229	3300-3400	23
1.0	0.8	0.7	64.8	2329	3400-3500	24
0.2	0.2	0.2	67.4	2423	3500-3594	25
84.9						المساحة الكلية /كم²

جدول 9 ج، المساحات النسبية والارتفاعات النسبية للخطوط الكتورية لخوض خبر سكران 1 الثانوي.

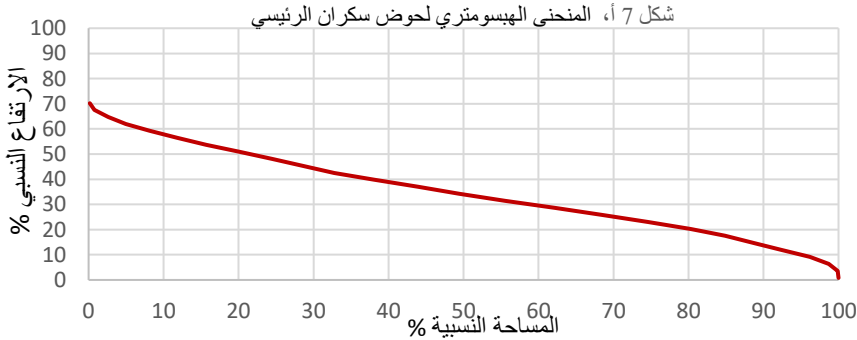
الطبقات	الارتفاعات / م	%	الارتفاع النسبي	المساحة / كم ²	متوسط الارتفاع / م	المساحة النسبية
100.0	0.2	0.0	0.8	30	1170-1200	1
99.8	0.5	0.5	3.6	130	1200-1300	2
99.3	0.8	0.7	6.4	230	1300-1400	3
98.5	1.1	1.0	9.2	330	1400-1500	4
97.3	1.6	1.3	12.0	430	1500-1600	5
95.8	1.6	1.4	14.7	530	1600-1700	6
94.2	2.2	1.8	17.5	630	1700-1800	7
92.0	2.0	1.7	20.3	730	1800-1900	8
90.0	2.0	1.7	23.1	830	1900-2000	9
88.0	1.7	1.4	25.9	930	2000-2100	10
86.4	1.1	1.0	28.7	1030	2100-2200	11
85.3	1.0	0.8	31.4	1130	2200-2300	12
84.3	1.1	0.9	34.2	1230	2300-2400	13
83.2	1.0	0.9	37.0	1330	2400-2500	14
82.1	1.1	1.0	39.8	1430	2500-2600	15
81.0	1.0	0.9	42.6	1530	2600-2700	16
80.0	1.0	0.8	45.4	1630	2700-2800	17
79.0	1.1	0.9	48.1	1730	2800-2900	18
77.9	1.3	1.1	50.9	1830	2900-3000	19
76.6	1.3	1.1	53.7	1930	3000-3100	20
75.3	1.0	0.8	56.5	2030	3100-3200	21
74.3	0.6	0.5	59.3	2130	3200-3300	22
73.7	0.3	0.2	62.0	2230	3300-3400	23
73.5	0.1	0.1	63.7	2289	3400-3459	24
المساحة الكلية / كم ²						22.5

جدول 9 د، المساحات النسبية والارتفاعات النسبية للخطوط الكتورية لخوض خبر سكران 2 الثانوي.

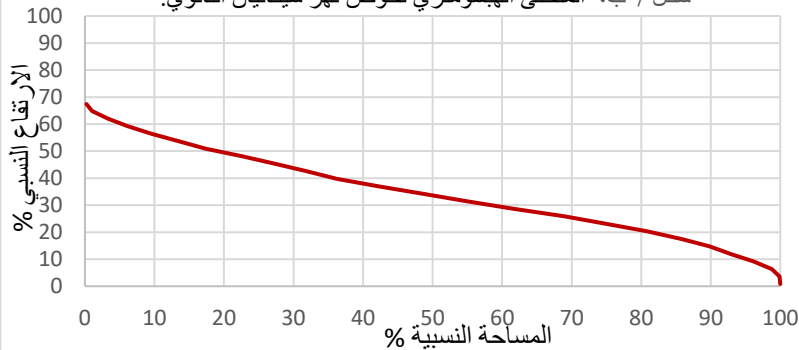
الطبقات	الارتفاعات / م	%	الارتفاع النسبي	المساحة / كم ²	متوسط الارتفاع / م	المساحة النسبية
100.0	2.3	0.2	2.6	84	1116-1200	1
97.7	6.4	0.6	5.8	184	1200-1300	2
91.2	8.6	0.8	8.9	284	1300-1400	3
82.6	5.4	0.5	12.0	384	1400-1500	4
77.3	6.1	0.6	15.2	484	1500-1600	5
71.2	6.9	0.7	18.3	584	1600-1700	6
64.4	9.1	0.9	21.4	684	1700-1800	7

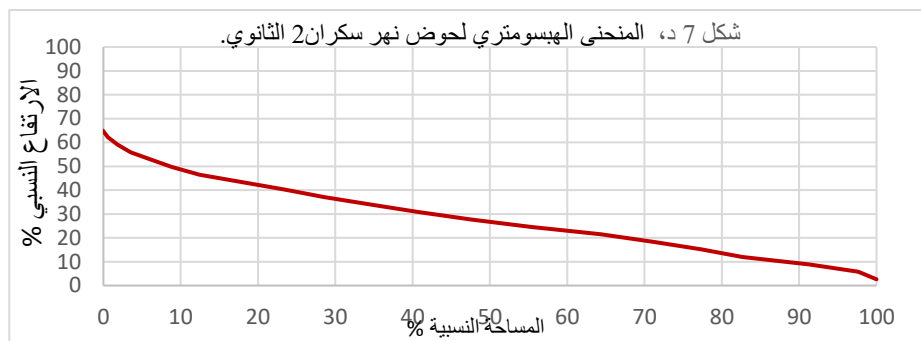
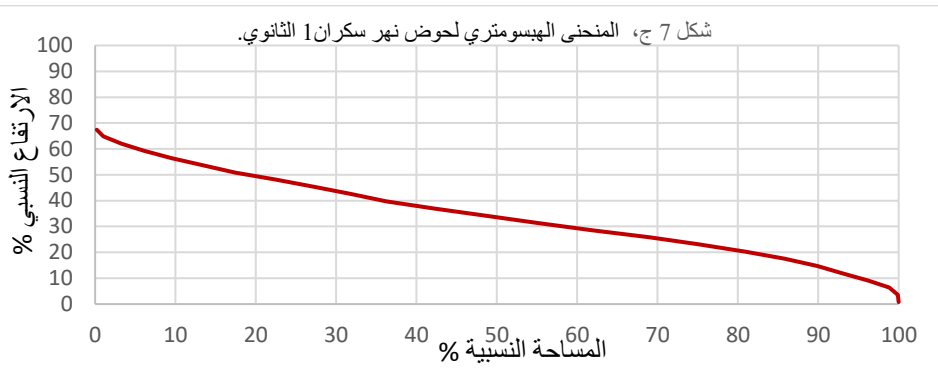
55.3	7.7	0.7	24.6	784	1800-1900	8
47.6	7.0	0.7	27.7	884	1900-2000	9
40.6	6.0	0.6	30.8	984	2000-2100	10
34.6	6.0	0.6	34.0	1084	2100-2200	11
28.6	5.2	0.5	37.1	1184	2200-2300	12
23.4	5.5	0.5	40.2	1284	2300-2400	13
17.9	5.5	0.5	43.4	1384	2400-2500	14
12.4	3.6	0.3	46.5	1484	2500-2600	15
8.9	2.7	0.3	49.6	1584	2600-2700	16
6.2	2.6	0.3	52.8	1684	2700-2800	17
3.5	1.7	0.2	55.9	1784	2800-2900	18
1.8	1.3	0.1	59.0	1884	2900-3000	19
0.6	0.7	0.1	62.2	1984	3000-3100	20
-0.1	0.3	0.0	65.0	2075	3100-3191	21
						المساحة الكلية/ كم ²
						9.7

شكل 7 أ، المنحنى الهايسومتري لخرب سكران الرئيسي



شكل 7 ب، المنحنى الهايسومتري لخرب سيكانيان الثانوي.





الاستنتاجات:

يعتبر نهر سكران الرئيسي من المحاري المرتبة السادسة، وأحد الروافد المهمة لنهر بالك الرئيسي، تندحر روافده من جبل سكران والجبال الحدودية المجاورة. وبحكم موقعها ضمن نطاق الفوائق المندفعه والزاحفة، فرض طابعا صعبا، يتميز بالتنوع الصخري، التنوع التضاريسى الذى تميز بارتفاع قيم R_{hp} , R_h و R , التنوع الميكلى، المتتحكم في تحديد شكل الخوض البيضوي، وبالتالي فإنه ذو كفاءة معتدلة في تصريفه للجريان السطحي، بتوليد قمم فيضية أكثر انساطا خلال مدة زمنية قصيرة، وقابلية عالية للتعرية وحمل الرواسب. وايضا، الانحدارات الشديدة، والتي حسب الخريطة الانحدارية لخوض نهر سكران الرئيسي، فإن المنطقة ترتفع فيها نسب النطاقات الشديدة الانحدارات، والتي تحدد منطقة التغذية والجريان السطحي في الجبال والمنطقة الانتقالية بينها وبين منطقة التصريف في الخوض الأسفل للنهر. عكست منطقة الدراسة مرحلة التوازن بين قوى الرفع التكتونية والخفص والتآكل التي تمر بها. وبالتالي، فإن الأنتاج الرسوبي متوسط، رغم توفر ظروف بيئية مناسبة كالتساقط العالى. أشارت R_b إلى وجود شذوذ نتيجة التطوارجليولوجي والصخري لشبكة الخوض المائي، شدة الانحدارات والتقطيع والتشريح في الخوض، وما شهدته من التشوه والضغط التكتوني. التي انعكست

على شذوذ مجاري الرتبة 4، وبالتالي، طول الجريان السطحي فيها ومن ثم زيادة فرص التغذية الجوفية فيها، عكس المراتب العليا التي تميزت بجريان سطحي سريع مع تقليل فرص إعادة التغذية الجوفية. تشير قيم **I_f** العالية على ان الخوض اجمالا ذات امكانيات عالية لتكوين جريان سطحي لانخفاض الترشيح. ما يتمتع به الخوض المدروس من إمكانات متنوعة لموارد المياه السطحية والجوفية، والسياحة، تحتاج إلى الحفاظ عليها وإدارتها، وإلى ضرورة اتخاذ التدابير الالزمة للحفاظ على المياه.

المصادر:

1. ابو رية، أحمد (2007). المنطقة الممتدة فيما بين القصرين ومرسى أم غبيج، دراسة جيومورفولوجية، قسم الجغرافية ونظم المعلومات الجغرافية، كلية الآداب، جامعة الاسكندرية، أطروحة دكتوراه غير منشورة.
2. ابو رية، أحمد(2018). تحليل للخصائص الجيومورفولوجية للمنحدرات الشرقية لحضبة الجلاله البحرية وأثر الانشطة البشرية عليها، مجلة الجمع العلمي المصري، 93 (93)، ص165-124.
3. الحسيني، حكمت (2000). جيومورفولوجية جبل بيرمام واحواضه النهرية مع تطبيقاتها، قسم الجغرافية، كلية الآداب، جامعة صلاح الدين – اربيل، رسالة ماجستير غير منشورة.
4. السياي، عبد الله، فاروق العمري، نضير الانصاري، ضاري الشبيخ، ضياء الزاوي وجاسم علي جاسم (1983). جيولوجيا العراق، مطبعة جامعة الموصل، الموصل.
5. سلامه، حسن رمضان (2013). اصول الجيومورفولوجيا، دار المسيرة للنشر والتوزيع، عمان، الاردن.
6. العمري، فاروق و علي صادق (1977). جيولوجيا شمال العراق، مطبعة جامعة الموصل، الموصل.
7. علوان، نوال (2014). تقييم حجم الجريان السطحي لخوض وادي دويريج، قسم الجغرافية، كلية التربية للبنات، جامعة بغداد، رسالة ماجستير غير منشورة.
8. عوليش، أصيل (2018). الشدة المطرية وأثرها على ذروة التصريف لأودية الجزء الشرقي لحافظة واسط باستخدام نظم المعلومات الجغرافية GIS، قسم الجغرافية، كلية التربية، جامعة واسط، رسالة ماجستير غير منشورة.
9. المكراوي، عبد الله (2013). آثار الظواهر الخطية ودلائلها الجيومورفولوجية في قبة علاس / طبة هرين الشمالي، قسم الجغرافية، كلية التربية، جامعة تكريت، رسالة ماجستير غير منشورة.